

東京都立大学 正会員 ○ 長嶋文雄  
 東京鐵骨構梁 同 入部孝夫  
 東京都立大学 同 伊藤丈人

1. まえがき 橋梁上を走行する鉄道車両の地盤動算のいわゆる非常時荷重に対する走行安全性の検討は橋梁自体の耐震性の検討とあいまって橋梁設計上一つの重要な課題である。この種の振動問題は i) 橋台又は橋脚(橋塔)部付近の軌道狂い、角折れの問題と、ii) 橋桁中間部での車両の走行安全性の二つの問題に大別されるると考えられる。後者の問題に対しては種々の車両モデルのシミュレーション解析によって、ある周波数帯の振動に対して車両の走行安定性が低下することが明らかになっている。この結論は車両と橋梁の相互作用による影響は事実上僅かなものであるで、車両の走行シミュレーションと橋梁の振動応答解析は分離独立した扱いが十分可能であるという考え方に基づいたものであるが一般には相互作用による影響度は連成すべき各系の相互の動特性によって定まるので、このような実用的解析法が成立する範囲を明らかにすることも必要であると思われる。<sup>3)</sup> その基礎的な資料とすべく、二輪貨車モデルと単純梁を連成させ、橋軸直角方向の支持点加振に対する振動応答解析を行なった。

2. 車両モデル 本報告で用いた二輪貨車モデルは図-1に示したように車体、車軸を剛体とみなし、これを減衰つきのバネで連結したもので、自由度は横動に関する車体の左右動( $x_B$ )、ローリング( $\psi_B$ )、ヨーイング( $\phi_B$ )と車軸の左右動( $x_{wi}$ ,  $i=1, 2$ )、ヨーイング( $\psi_{wi}$ )の7自由度とした。運動方程式は変位ベクトルを

$$\{X_s\}^T = \{x_B, \psi_B, \phi_B, x_{wi}, x_{w2}, \psi_{wi}, \psi_{w2}\} \quad (1)$$

としてマトリックス表示すれば、次式と表-1で与えられる。

$$[M_s]\{\ddot{X}_s\} + [C_s]\{\dot{X}_s\} + [K_s]\{X_s\} = \{F\} \quad (2)$$

ここで外力ベクトル $\{F\}$ は車軸のローリング角変位を $\omega_{wi}$ 、横圧を $Q_{iw}$ 、トルクを $T_{iw}$ として式(3)で示される。

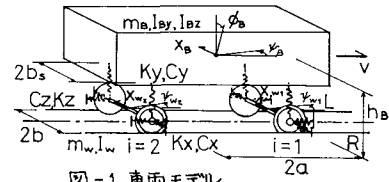
$$\{F\}^T = [0, 0, C_b b_i^2 (\phi_{wi} + \phi_{w2}) + K_b b_i^2 (\psi_{wi} + \psi_{w2}), -Q_{il} + Q_{ir}, -Q_{il} + \theta_{2r}, -T_{iw}, -T_{iw}] \quad (3)$$

また $\omega_{wi}$ は $x_{wi}$ と軌道中心の変位 $x_{RL}$ の相対変位の変動に対して変化する左右車輪の実質半径の増減により生ずるローリング角変位であり、陰に式(2)の左辺の変位ベクトルを含むものである。 $Q_{iw}$ ,  $T_{iw}$ もクリーフ原数、すばり率の変数であり同様なことから、逐次積分を行なう場合には工夫を要する。なお、二輪リンク構造に相当する左右バネ $K_{xi}$ はハーデスリンク・バイリニア型とした。また諸量については文献1)の値を準用した。

図-2は過渡振動を极力おさえる目的で円滑化した入力波

$$x_{RL} = A(1 - e^{-h_{w0}t^2}) \cdot \sin 2\pi f_t t, \quad i=1, 2 \quad (4)$$

(ここで、 $A$ : 片振幅,  $h_{w0}$ : 円滑化定数)に対するシミュレーション結果から得られた走行安全限界線で、輪重 $P_c$ に対する横圧 $Q_c$ の比すなわち脱線係数と、 $P_c$ が瞬間に零になるとよろロッキングにに関して示したものである。解析的に求めた下心および上心ローリング



$$[M_s] = [I_{mb}, I_{bx}, I_{bz}, m_w, m_w, I_w, I_w] \quad \text{↑ diagonal}$$

$$[C_s] = \begin{bmatrix} 2C_x & & & \\ & 2(C_x + b_i^2 C_y) & & \text{Sym.} \\ Zb_i C_x & & Z(b_i^2 C_x + b_i^2 C_y) & \\ -C_x & -aC_x & -h_b C_x & C_x \\ -C_x & aC_x & -h_b C_x & 0 \\ 0 & -b_i^2 C_x & 0 & 0 \\ 0 & -b_i^2 C_x & 0 & 0 \end{bmatrix}$$

$$[K_s] = \begin{bmatrix} K_{xi} + K_{zi} & & & \\ a(K_{xi} - K_{zi}) & \frac{a^2(K_{xi} + K_{zi})}{+2b_i^2 K_x} & & \text{Sym.} \\ h_b(K_{xi} + K_{zi}) & h_b^2(K_{xi} + K_{zi}) & & \\ h_b(K_{xi} + K_{zi}) & a(h_b(K_{xi} - K_{zi}) + 2b_i^2 K_y) & & \\ -K_{xi} & -aK_{xi} & -h_b K_{xi} & K_{xi} \\ -K_{xi} & aK_{xi} & -h_b K_{xi} & 0 \\ 0 & -b_i^2 K_x & 0 & 0 \\ 0 & -b_i^2 K_x & 0 & 0 \end{bmatrix}$$

表-1 各マトリックス

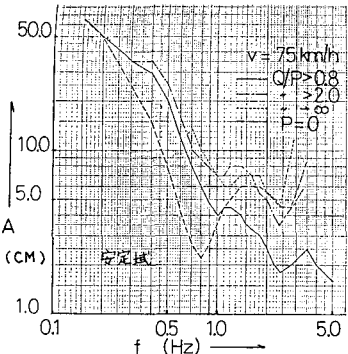


図-2 走行安全限界線

モードに対する固有振動数0.74, 2.25 Hz付近にそれぞれ限界線の値が存在している。

3. 連成系の運動方程式 梁の支点が  $x_0$  で加振され、さらに支点から  $z_L$  の点に外力  $F(t, z_L)$  が作用する場合の梁の弾性変位  $z_L$  は基準関数  $X_m$  と基準座標  $\phi_m$  を用いて式から求められる。(図-3参照)

$$\ddot{\phi}_m + 2\hbar_m \omega_m \dot{\phi}_m + \omega_m^2 \phi_m = \sum_{i=1}^{n_r} \{ F(t, z_i) X_m(z_i) \} / M_m - \beta_m z_L \quad (5)$$

ここで  $m = 1, 2, \dots, n_r$ ,  $\hbar_m$ : 減衰定数,  $\omega_m$ : 固有円振動数,  $M_m$ : 換算質量,  $\beta_m$ : 制激係数である。連成系の運動方程式は式(2)と式(5)を下式で連成させることによって得られる。すなはち軌道中心変位は絶対変位で与えるべきであるから式(6)となり、また車両の横圧の異符号外力として構梁に作用するので式(7)となる。

$$z_{RL} = z_0 + \sum_{m=1}^{\infty} \phi_m(t) \cdot X_m(z_L) \quad (6), \quad F(t, z_L) = Q_{BL} - Q_{LR} \quad (7)$$

結局運動方程式は式(8)のようになるが、車軸空位に関する減衰及ばず剛性マトリックスと外力ベクトルはレールと車輪の接触状態(輪軸と軌道の相対変位が遮間以内であるか否か、あるいは車輪フランジ衝突による小返り変位があるか否か)で変化するため、応答計算の各ステップ毎に各マトリックスとベクトルの組替えをする必要がある。

$$\begin{bmatrix} M_s & 0 \\ 0 & E \end{bmatrix} \begin{bmatrix} \ddot{X}_S \\ \dot{\phi} \end{bmatrix} + \begin{bmatrix} C_{S1} & C_{S2} & 0 \\ C_{S2} & C_{S3} & C_{B1} \\ 0 & C_{B1} & C_B \end{bmatrix} \begin{bmatrix} \dot{X}_{S1} \\ \dot{X}_{S2} \\ \dot{\phi} \end{bmatrix} + \begin{bmatrix} K_{S1} & K_{S2} & 0 \\ K_{S2} & K_{S3} & K_{B1} \\ 0 & K_{B1} & K_B \end{bmatrix} \begin{bmatrix} X_{S1} \\ X_{S2} \\ \phi \end{bmatrix} = \begin{bmatrix} 0 \\ F_J \\ F_{BT} \end{bmatrix} \quad (8)$$

上式中、 $\{X_S\}^T = \{z_B, v_B, \phi_B\}$ ,  $\{X_{S2}\}^T = \{z_W, z_w, v_w\}$  である。

4. シミュレーション結果と考察 応答計算はレンジ、クーラ法を用い、時間割合は0.004秒とした。図-4は連成系の解析による応答波形を示したものである。輪軸の左右変位に高周波成分があるが、これはレール小返りバネによる影響である。表-2はレール小返りバネ定数を変化させたときの結果であるが、脱線係数の最大値に着目するとレール小返りバネ定数に比例して大きくなっている。輪軸位置の構梁変位波形は前後輪位置の構梁の変位が殆ど同位相、同波形であることがわかる。従って車体のヨーイング角も小さいが、これは構梁の軸中間部を走行する場合の特徴であり、軌道中心に時間的にさきざきに変化しても構梁が殆ど1次モード形で振動しているため軌道空位に対しての車輪の進入角が非常に小さいことを意味する。表-3は走行速度を変化させたときの比較をしたものであるが上記の理由から脱線係数の値は殆ど同じであり、速度による変化は少ないと考えられる。図-5は質量比  $\nu$  (構梁の車両に対する単位長さ当たりの値)を変化させたときの前輪軸位置構梁変位波形を比較したものである。 $\nu$  が小さくなるに従い相互作用の影響が強く現われ、(c)の場合の波形が(a)の場合に比べて乱れがあり、また絶対値も違ってきてている。本報告は1車両のみの考察であったが当然のことながら相互作用力が弱く、今後車両数を増し、また各パラメータも実橋に則した値を用いた解析が必要である。

参考文献 1) 松浦・鴻井 鉄道車両の走行性からみた長大吊橋の折れ角限界、土木学会論文報告集 No.291 1971-11. 2) 日本鉄道施設協会本州四国連絡橋の列車走行に関する研究報告(走行分析会)。3) 長嶋・伊藤 車両-構梁構造物連成系の横方向に關する固有值解析、第4回概要集

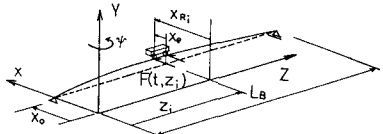


図-3 橋梁モデルと座標系

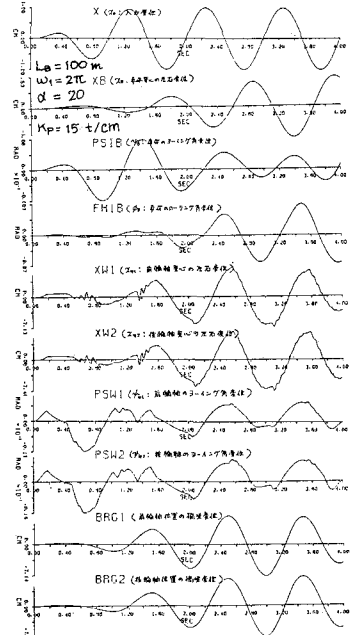


図-4 応答波形例

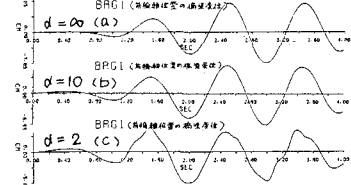


図-5 質量比による比較

$K_p$ (N/mm)	構梁の最大変位 (cm)		脱線係数	
	前輪位置 (cm/cm)	後輪位置 (cm/cm)	最大値	波形時間 (0.8~1.2s)
50	1.24	1.23	1.17	0.012
30	1.24	1.24	0.78	0.0
(15)	1.39	1.40	0.46	0.0
5	1.17	1.17	0.33	0.0

表-2  $K_p$ による比較  $d=10$

走行速度 (km/h)	構梁の最大変位 (cm)		脱線係数	
	前輪位置 (cm/cm)	後輪位置 (cm/cm)	最大値	波形時間 (0.8~1.2s)
75	2.20	2.23	1.06	0.036
50	2.16	2.16	1.02	0.028
25	1.91	1.82	1.08	0.020

表-3  $V$ による比較  $d=10$